

Self-Patterning을 이용한 강유전체 $Sr_{0.9}Bi_{2.1}Ta_2O_9$ 와 산화물 전극 $La_{0.5}Sr_{0.5}CoO_3$ 의 박막 제조에 관한 연구

임종천, 조태진, 강동균, 임태영, 김병호
고려대학교, 요업기술원

A Study on Fabrication of $Sr_{0.9}Bi_{2.1}Ta_2O_9$ and $La_{0.5}Sr_{0.5}CoO_3$ Thin Films by Self-Patterning Technique

(Jong-Chun Lim, Tae-Jin Cho, Dong-Kyun Kang, Tae-Young Lim, Byong-Ho Kim)
Korea Uni., KICET

Abstract

Self-patterning of thin films using photosensitive sol solution has advantages such as simple manufacturing process compared to photoresist/dry etching process. In this study, ferroelectric $Sr_{0.9}Bi_{2.1}Ta_2O_9$ (SBT) and $La_{0.5}Sr_{0.5}CoO_3$ (LSCO)thin films have been prepared by spin coating method using photosensitive sol solution. $Sr(OC_2H_5)_2$, $Bi(TMHD)_3$ and $Ta(OC_2H_5)_5$ were used as starting materials for SBT solution and $La(OCH_2CH_2OCH_3)_3$, $Sr(OC_2H_5)_2$, $Co(OCH_2CH_2OCH_3)_2$ were used for LSCO solution. Solubility difference by UV irradiation on LSCO thin film allows to obtain a fine patterning due to M-O-M bond formation. The lowest resistivity($4 \times 10^{-3} \Omega \text{cm}$) of LSCO thin films was obtained by annealing at 740°C .

key words : Sol-gel process, SBT, LSCO, Self-Patterning

1. 서 론

FRAM은 빠른 동작속도와 저전압 동작 등 DRAM이 지니고 있는 장점을 갖고 있을 뿐만 아니라, 전원을 끊은 후에도 정보를 기억할 수 있는 비 휘발성 자기 메모리로서의 장점을 갖고 있다.¹⁾ 최근 FRAM 중에서 가장 많이 연구되고 있는 물질이 PZT, BLT, SBT등이 있다. 특히 SBT와 같은 층상 페롭스카이트 물질은 피로특성이 우수하고 작동전압이 낮으며 박막 두께가 얇기 때문에 고집적화에 적합하다.²⁾

강유전체 메모리의 전극재료는 Pt나 Au 같은 귀금속이 일반적으로 사용되고 있으나 산화물 전극 물질을 사용할 경우 박막간의 기계적 접착이 금속 전극물질보다 좋기 때문에 산화물 전극물질에 대한 연구가 많이 이루어지고 있다. $SrRuO_3$, $La_{0.5}Sr_{0.5}CoO_3$, $LaNiO_3$, $La_{0.7}Sr_{0.3}MnO_3$ 와 같은

Perovskite 구조의 전도성 산화물 전극들은 강유전체 메모리소자에 이용할 경우 피로현상을 향상시키며 이러한 전도성 산화물을 중 $La_{0.5}Sr_{0.5}CoO_3$ (LSCO)는 실온에서 낮은 비저항값을 가지고 있다고 보고되고 있다.^{3,4)} LSCO의 결정은 cubic perovskite 구조이며 La/Sr의 변화에 따라 LSCO의 격자상수가 $0.382 \sim 0.384 \text{ nm}$ 로 변하고 다른 물리적인 특징도 변화한다고 알려져 있다.^{5,6)}

β -diketone 물질로 chelate된 metal alkoxide는 π - π^* 결합에 의한 UV 흡수 파장대를 나타내며 gel 박막표면에 흡수 파장대의 UV를 조사할 경우 UV 조사한 부분은 M-O-M 결합을 형성하면서 solvent에 대한 용해도가 급격히 낮아지게 된다.⁷⁾

본 연구에서는 이러한 특성을 이용하여 Photo sensitive sol solution을 합성하고 기판에 박막을 형성한 후 UV를 조사하여 Self-Pattern된 박막을 관찰하였으며 열처리온도변화에 따른 상전이 특성 미세구조 및 비저항값의 변화를 조사하였다.

2. 실험 방법

2.1. Sol-gel solution 합성과 박막의 제조

강유전체 물질 SBT와 산화물 전극 LSCO 용액은 Photosensitive Sol-gel 용액으로 합성하였다. Photosensitive 강유전체 물질 SBT 용액을 위해 $\text{Sr}(\text{OC}_2\text{H}_5)_2$, $\text{Bi}(\text{TMHD})_3$ 그리고 $\text{Ta}(\text{OC}_2\text{H}_5)_5$ 가 출발물질로 사용되었다. $\text{Sr}(\text{OC}_2\text{H}_5)_2$ 와 $\text{Ta}(\text{OC}_2\text{H}_5)_5$ 를 β -diketone 물질인 Ethylacetacetate(EAcAc)로 chelate 시키고 $\text{Bi}(\text{TMHD})_3$ 를 첨가하여 Photosensitive SBT stock solution을 합성하였다. 용매로는 2-methoxyethanol($\text{CH}_3\text{OCH}_2\text{CH}_2\text{OH}$)를 사용하였으며 가수분해 반응을 촉진시키기 위한 촉매로 질산(HNO_3)를 소량 첨가하였다. 또한 박막의 코팅성을 높이기 위해 DCCA(Drying Control Chemical Additive)의 일종인 Butanediol [$\text{CH}_3(\text{OH})\text{CH}_2\text{CH}_2\text{OH}$]을 첨가하였다. 기판은 Pt가 2000 Å, TiO_2 가 400 Å의 두께로 증착되어 있는 Pt/ TiO_2 / SiO_2 /Si 기판을 사용하였다. SBT 용액을 스픈 코팅법을 이용하여 2500 rpm의 회전속도로 30초 동안 코팅하고 UV를 조사한 후 유기물의 탈리를 위해 400°C에서 5분간 baking을 하였다. 이러한 과정을 여러 번 반복하여 2000 Å 이상의 두께를 갖는 SBT 박막을 제조하였고 박막의 결정화를 위해서 660~780°C까지 40°C 간격으로 1시간 동안 O_2 분위기에서 로열처리를 하였다. Photosensitive 산화물 전극 LSCO 용액을 위해 $\text{La}(\text{OCH}_2\text{CH}_2\text{OCH}_3)_3$, $\text{Sr}(\text{OC}_2\text{H}_5)_2$, $\text{Co}(\text{OCH}_2\text{OCH}_3)_2$ 가 사용되었다. 각 출발물질을 역시 EAcAc로 chelate시킨 후 혼합하여 Photosensitive LSCO 용액을 합성한 후

SBT/Pt/ TiO_2 / SiO_2 /Si 기판 위에 2500rpm으로 스픈 코팅한 후 400°C에서 5분간 baking시켰다. 이 과정을 반복하여 2000 Å 두께의 LSCO 박막을 제조한 뒤 결정화를 위하여 680~760°C에서 1시간동안 대기 중에서 로열처리를 하였다. 전체적인 제조과정을 Fig.1에 나타내었다.

2.2. SBT 와 LSCO 박막의 특성분석

Photosensitive 용액의 조성을 알아보기 위해 EPMA(JXA-8900R, JEOL)를 이용하여 leaching 전후의 조성 변화를 살펴보았다. 제조된 SBT 박막의 상성이 특성을 관찰하기 위하여 XRD(MAC Science. Co. Ltd, M03XHF²²)를 이용하여 40KV, 30mA, CuK α 로 0.02°씩 증가시키고 각 스텝에서 5초간 유지시켜며 XRD 분석을 하였고 LSCO 박막의 경우 40KV, 40mA, CuK α continuous로 유지시켜 XRD 분석을 하였다. 박막의 표면에 대한 미세구조는 SEM(JEOL,JSM-5310L)을 이용하여 관찰하였다. Photosensitive LSCO 박막은 4-Point Probe(Changnam Tech, CMT-SR1000)를 사용하여 비저항값을 측정하였다.

3. 결과 및 고찰

3.1. SBT와 LSCO 박막의 EPMA, XRD 분석

Table 1은 Photosensitive SBT와 LSCO 박막의 leaching 전후의 조성변화를 알아보기 위해 EPMA 분석 결과를 표기하였다. $\text{Sr}/\text{Bi}/\text{Ta}=0.9/2.1/2$ 와 $\text{La}/\text{Sr}/\text{Co}=0.5/0.5/1$ 몰분율 비율로 제조된 photo sensitive stock solution을 이용하여 박막 코팅 후 UV 조사하고 400°C에서 열처리한 박막과 UV 조사 후 Patterning을 위해 leaching한 후 400°C에서 열처리한 박막의 조성비를 각각 3회 측정한 후 평균 조성비를 계산하였다.

Table 1. EPMA result of SBT, LSCO thin films
baked at 400°C

Element	Cation ratio (before leaching)	Cation ratio (after leaching)
	Compositions (rel. to O ₂)	
SBT element		
Sr	0.9095	0.9220
Bi	2.0319	2.0577
Ta	1.9825	1.9816
LSCO element		
La	0.5181	0.5011
Sr	0.5724	0.5427
Co	1.0372	0.9930

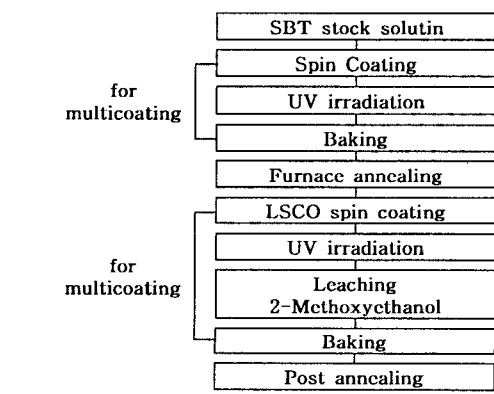


Fig. 1. Schematic diagram for total procedure

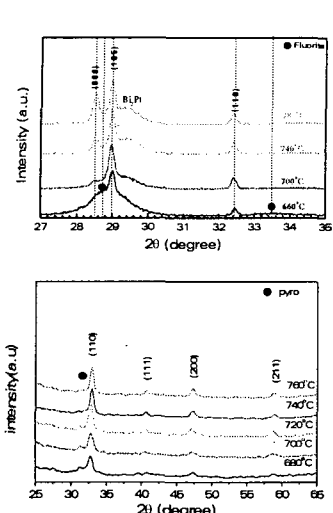


Fig. 2. XRD patterns of SBT, LSCO thin films with various furnace annealing temperature for 1hr(UV)

이때 EPMA의 측정 오차범위는 ± 0.1 몰분율이다. Table 1에서 보는 바와 같이 SBT 박막의 노광후 leaching 전의 Sr/Bi/Ta의 몰분율은 0.92/2.05/1.98이고 leaching 후의 조성비는 0.91/2.03/1.98 이었다. 그리고 LSCO 박막의 노광후 leaching 전의 La/Sr/Co의 몰분율은 0.52/0.57/1.04이고 leaching 후의 La/Sr/Co의 몰분율은 0.50/0.54/0.99의 비율로 거의 비슷한 값을 나타내고 있어 Patterning을 위한 노광 및 leaching 공정이 self patterning 된 박막의 조성이 영향을 미치지 않고 최종적으로 원하고자 하는 화학 조성비를 갖는 SBT와 LSCO 박막을 형성할 수 있음을 확인할 수 있었다. Fig. 2는 UV를 조사한 SBT와 LSCO Photosensitive solution 박막의 열처리 온도별 XRD pattern을 나타낸 것이다. SBT의 경우 660°C상에서 열처리한 시편의 경우 Pyroclore 상과 perovskite 상이 함께 존재하며 700°C 이상에서 열처리한 시편부터 완전히 Perovskite 상으로 바뀌어 결정화가 잘 이루어진 것을 알 수 있었다. 또한 Photosensitive LSCO 박막의 결정화 과정을 알아보기 위해 680~760°C 까지 20°C씩 증가하여 최종 열처리한 다음 XRD를 측정한 결과 680°C에서 (110), (200)과 같은 주피크가 관찰되고 열처리 온도가 높아짐에 따라 LSCO의 결정피크의 강도가 커짐을 알 수 있었다.

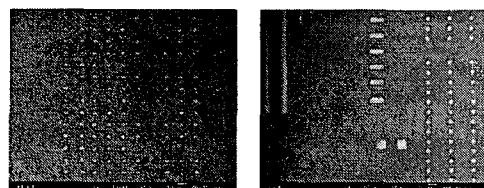


Fig. 3. SEM micrographs of Self-Patterned LSCO thin films on Si substrate

3.2. Self-Pattern 된 LSCO 박막

Micro-Patterning을 위해 Cr이 coating 된 quartz mask를 이용하여 Patterning을 하였다. Fig. 3는 이러한 특성을 이용하여 Si 기판위에 포토마스크의 형상대로 미세 Pattern된 LSCO 박막의 모습을 나타내고 있다. 가장 미세한 패턴은 약 $5\mu\text{m}$ 이며 더욱 정밀한 장비가 갖춰진다면 더 미세한 패턴까지도 얻을 수 있을 것으로 생각된다.

3.3. LSCO박막의 결정화 및 비저항값 측정

각 온도에서 결정화된 LSCO 박막의 표면 morphology를 알기 위해 SEM을 관찰하였다. Fig. 4는 LSCO 박막의 결정화 온도에 따른 표면의 morphology를 나타내고 있다. 결정화 온도가 증가함에 따라 박막의 grain들은 점차 성장하여 760°C에서 가장 큰 grain 크기를 가지게 되었다.

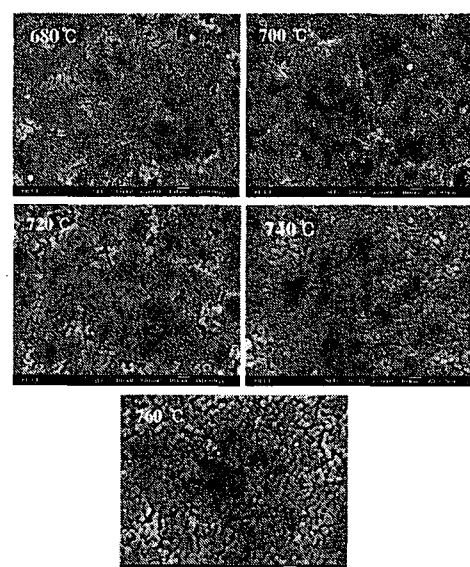


Fig. 4. SEM micrographs of LSCO thin films with various furnace annealing temperatures for 1 hr

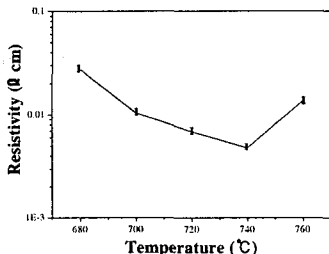


Fig. 5. Resistivities of LSCO thin films as a function of furnace annealing temperatures.

LSCO 박막의 비저항값은 각각 4회 측정한 후 Fig. 5에 나타내었다. 열처리 온도가 증가함에 따라 비저항값은 감소하였고 740°C에서 최소값을 나타내었으며 그 이상의 온도에서는 다시 증가하였다. 이런 비저항값의 특성은 열처리 온도가 증가함에 따라 LSCO 박막과 기판과의 열팽창률의 차이에 의해 박막내부에應력이 발생하고 crack을 생성시켜 다공성인 박막이 되기 때문이라는 연구 결과와 거의 일치하고 있다.⁸⁾ 740°C 이상의 온도에서 열처리된 경우 LSCO 박막의 porous한 표면과 박막 내부에 생성된 crack에 의해 비저항값이 증가하였다고 생각된다. 따라서 740°C에서 제조된 LSCO 박막은 강유전체 메모리소자의 전극으로 사용이 가능할 것으로 생각된다.

4. 결 론

Photosensitive solution을 이용하여 Sol-gel 법으로 강유전체 SBT와 산화물 전극 LSCO 박막을 제조하고 Self-Patterning을 하여 다음과 같은 결론을 얻을 수 있었다.

1. Self-Patterning을 위한 UV 노광 및 leaching 공정이 SBT 및 LSCO 박막의 조성 변화에 거의 영향을 미치지 않았다.
2. Photosensitive solution을 이용하여 수 μm 크기의 LSCO 박막 미세 Pattern을 얻을 수 있었다.
3. 열처리 온도가 높아짐에 따라 비저항값이 점차 감소하여 740°C에서 가장 낮은 $4 \times 10^{-3} \Omega\text{cm}$ 의 비저항값을 가지는 LSCO 박막을 얻을 수 있었다.

감사의 글

본 연구는 한국과학재단의 학술연구조성비(2000-1-30100-014-3)에 의하여 수행된 것이며, 이에 대해 감사를 드립니다.

REFERENCES

- [1] M. Suzuki, "Review on Future Ferroelectric Nonvolatile Memory : FeRAM-From the Point of View of Epitaxial Oxide Thin Films-", *J. Ceram. Soc. Jpn.*, **103** 1099-111 (1995)
- [2] C. A. Paz de Araujo, J. D. Cuchiaro, L. D. McMillan, M. C. Scott and J. F. Scott, "Fatigue-free Ferroelectric Capacitors with Platinum Electrodes," *Nature*, **374** 627-29 (1995)
- [3] H. Masumoto, S. Hiboux, and P. Muralt, "Preparation of $\text{La}_{1-x}\text{Sr}_x\text{CoO}_3$ Electrodes for Ferroelectric Thin Films by Magnetron Sputtering," *Ferroelectrics*, **225** 335-41 (1999)
- [4] S. Javoric, G. Drazic, and M. Kosec, "A Study of the Crystallization of CSD-prepared $\text{La}_{0.5}\text{Sr}_{0.5}\text{CoO}_3$ Thin Films Using Analytical Electron Microscopy," *J. of the Eur. Ceram. Soc.*, **21** 1543-46 (2001)
- [5] H. D. Bhatt, R. Vedula, S. B. Desu, and G. C. Fralick, " $\text{La}_{(1-x)}\text{Sr}_x\text{CoO}_3$ for Thin Film Thermocouple Application," *Thin Solid Films*, **350** 249-57 (1990)
- [6] X. Chen, N. Wu, A. Ignatiev, Z. Zhang, and W. K. Chu, "Structure and Conducting Properties of $\text{La}_{0.5}\text{Sr}_{0.5}\text{CoO}_{3-\delta}$ Films on YSZ," *Thin Solid Films*, **350** 130-37 (1999)
- [7] N. Tohge and Y. Takama, "Direct Fine-patterning of PZT Thin Films Using Photosensitive Gel Films Derived from Chemically Modified Metal-alkoxides," *J. of mater. sci.*, **10** 273 (1999)
- [8] G. S. Wang, Z. Q. Lai, J. Yu, S. L. Guo, J. H. Chu, G. Li, and Q. H. Lu, "Preparation and Properties of Lanthanum Strontium Cobalt films on Si(100) by Metallorganic Chemical Liquid Deposition," *J. of Crys. Growth*, **233** 512-16 (2001)